



## تهیه نقشه نواحی با پتانسیل وقوع چشمه‌های آب زیرزمینی با استفاده از روش آماری رگرسیون لجستیک در محیط GIS (مطالعه موردی: حوزه آبخیز کوهستانی میرد، کردستان)

**سیران زندی<sup>۱</sup>, کریم سلیمانی<sup>۲</sup> و جلال زندی<sup>۳</sup>**

۱- دانشجوی کارشناسی ارشد و استاد، دانشگاه علوم کشاورزی و منابع طبیعی ساری

۲- دانشجوی دکتری، دانشگاه علوم کشاورزی و منابع طبیعی ساری (نويسنده مسؤول: (j.zandi@sanru.ac.ir)  
تاریخ دریافت: ۹۱/۹/۴ تاریخ پذیرش: ۹۲/۵/۲۸

### چکیده

هدف از انجام این تحقیق تهیه نقشه پتانسیل وقوع چشمه‌های آب زیرزمینی با توسعه مدل آماری و احتمالاتی رگرسیون لجستیک (LR) می‌باشد. موقعیت مکانی چشمه‌های حوزه آبخیز کوهستانی میرد استان کردستان با مساحت حدود ۲۸۱ کیلومترمربع طی عملیات میدانی ثبت گردید. بر اساس بازدیدهای میدانی، پرس و جوهای محلی و آمار شرکت مدیریت منابع آب مختصات مکانی ۹۰۴ دهنه چشمه در حوزه مورد مطالعه ثبت گردید و جهت تحلیل‌های بعدی، ۳۰۴ چشمه به عنوان چشمه‌های آزمایشی به صورت کاملاً تصادفی جدا شده و ۶۰۰ چشمه باقیمانده به عنوان چشمه‌های آموزشی وارد تحلیل‌ها شدند. پس از انجام آنالیزهای رگرسیونی لجستیک گام به گام بیشرو، مهم‌ترین فاکتورهای تأثیرگذار در وقوع چشمه که از لحاظ آماری معنی‌دار بودند، انتخاب گردیدند. صحت مدل آماری و نقشه پهنه‌بندی بر اساس درصد وقوع چشمه‌های آزمایشی در نقشه حساسیت و آماره‌هایی از قبیل:  $R^2$ -2LL،  $R^2$ -ناگلکرک، و  $R^2$ -کوکس و استن مورد ارزیابی و تأیید شد. همچنین، دقت پیش‌بینی مدل مورد استفاده در این مطالعه با استفاده از سطح زیر منحنی ویژگی‌های عامل نسبی (ROC) مورد سنجش قرار گرفت. مدل‌های احتمالاتی و آماری در تلفیق با GIS جهت پتانسیل‌بایان نواحی با چشمه‌های آب زیرزمینی می‌تواند مورد توجه طراحان و تصمیم‌گیران طرح‌های توسعه آب زیرزمینی و آمایش سرزمین واقع گردد.

**واژه‌های کلیدی:** پتانسیل آب زیرزمینی، چشمه، رگرسیون لجستیک، سیستم اطلاعات جغرافیایی

فرآوانی (۱۸) و رگرسیون لجستیک (۱۷). در بسیاری از مطالعات پتانسیل‌بایان آبهای زیرزمینی از داده‌های سنجش از دور و تلفیق آن با سیستم اطلاعات جغرافیایی استفاده شده است (۲۳، ۲۰، ۶).

در توسعه منابع آبی موجود، عوامل متعددی تأثیرگذار می‌باشد که از جمله این عوامل می‌توان به نقش عوامل ساختاری نظیر گسل‌ها، درز و شکاف‌ها، عوامل سنگ‌شناصی مانند نوع سازند منطقه و عوامل توپوگرافی همچون شب و ارتفاع منطقه اشاره کرد. وقوع و حرکت آبهای زیرزمینی غالباً با نفوذپذیری و تخلخل سطحی و سنگ‌شناصی زیر زمین کنترل می‌شود (۲۳). همچنین در آبخوان‌های با سنگ بستر شکست خورده با فاکتورهای متعددی از قبیل: توپوگرافی، سنگ‌شناصی، سازندهای زمین‌شناسی، تراکم گسل، روزنه و دریچه‌ها و اتصالات، تخلخل ثانویه، توزیع سفره آب زیرزمینی، تغذیه آب زیرزمینی، شب، الگوی زهکشی، ژئومورفولوژی، پوشش اراضی، شرایط اقلیمی و ارتباطات درونی این فاکتورها بستگی دارد (۱۴، ۱۳). کورسینی و همکاران (۵)، روشی برای مدل‌سازی توزیع پتانسیل چشمه‌ها با استفاده از روش‌های تحلیل مکانی در شمال ایتالیا انجام داد که بر اساس روابط آماری بین موقعیت

### مقدمه

چشمه‌های آب زیرزمینی یکی از منابع مهم آب شیرین مورد نیاز انسان و دام است، با توجه به شرایط اقلیمی، جغرافیایی و توپوگرافی، بخش وسیعی از کشور جزء مناطق خشک و نیمه‌خشک بهشمار می‌رود. با افزایش تقاضا برای استحصال آب شیرین از این مناطق، تعیین نواحی با پتانسیل آب زیرزمینی و حفاظت و مدیریت آن اهمیت بسیاری دارد. نقشه‌های پتانسیل چشمه‌های آب زیرزمینی هزینه‌های حفاری چاههای افقی را کاهش داده و ابزار مفیدی برای طراحان و مهندسان جهت مکان‌بایی مناطق مستعد وجود آب زیرزمینی می‌باشد (۱۴). همچنین این امکان را فراهم می‌سازند که با کمترین تلاش ممکن‌های نواحی که احتمال وجود چشمه را دارند شناسایی کرده و در موقع خشکسالی از آن بهره‌برداری نمود (۵). تهیه نقشه پتانسیل وقوع چشمه آب زیرزمینی GSP<sup>۱</sup>، برای موفقیت در طرح‌های شهری مفید می‌باشد (۱۷). روش‌های مختلفی برای ارزیابی پتانسیل چشمه آب زیرزمینی و پهنه‌بندی آن ارائه شده است. این روش‌ها عبارتند از: شبکه عصبی مصنوعی (۵)، وزن‌دهی به شواهد (۵)، (۱۸)، روش‌های آماری از قبیل: نسبت

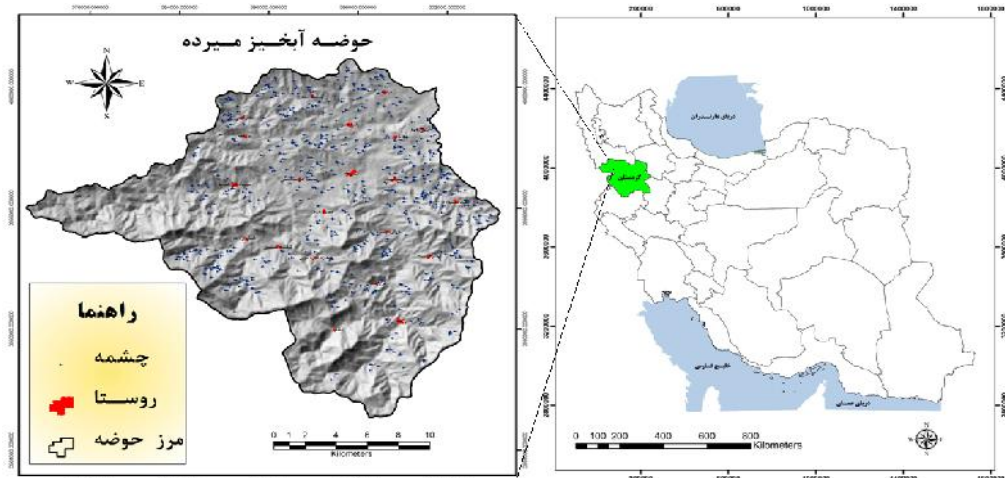
تأمین آب شرب، کشاورزی، توسعه توریسم و ایجاد محیطی مناسب برای تفرجگاه‌های متمرکز و گسترد و ... هنوز مطالعات جامعی در خصوص پتانسیل‌یابی این منبع با ارزش در ایران گزارش نشده است. چشمه‌ها یکی از مهمترین منابع تفرجی طبیعی در گردشگری کوهستان می‌باشد که در اثر متقابل ساختار فیزیکی زمین و آب و هوا ایجاد شده است. شمار زیادی از فعالیت‌های تفرجی در مناطق کوهستانی امکان تحقق دارد. برخی از این فعالیت‌ها بی‌نیاز از توسعه فیزیکی و تعدادی نیز به‌واسطه زیرساخت‌های لازم در پیکره کوهستان به اجرا در می‌آید. هدف از انجام این تحقیق ارزیابی کارایی روش آماری رگرسیون لجستیک (LR) در تپیه نقشه پتانسیل وقوع چشمه در حوزه کوهستانی میرده استان کردستان و آزمایش قابلیت‌های این مدل در نقشه‌برداری نواحی با پتانسیل چشمه‌های آب زیرزمینی و تعیین مهمترین فاکتورهای تأثیرگذار در وقوع چشمه منطقه مورد مطالعه می‌باشد.

### مواد و روش‌ها

#### مشخصات منطقه مورد مطالعه

حوزه آبخیز میرده با مساحت  $381/61$  کیلومتر مربع یکی از زیرحوزه‌های زرینه رود می‌باشد که در جنوب شهرستان سقز در استان کردستان واقع شده است (شکل ۱). این حوزه در محدوده جغرافیایی  $45/83$  تا  $46/17$  درجه طول شرقی و  $36/22$  تا  $36/26$  درجه عرض شمالی قرار گرفته است. حداقل ارتفاع از سطح دریا  $2678$  متر بوده و حداقل ارتفاع حوزه  $1524$  متر در خروجی آن بوده و ارتفاع متوسط از سطح دریا  $1952$  متر می‌باشد. منطقه‌ای با عوارض توپوگرافیکی شدید بوده و محیط زمین‌شناسی، رئومورفولوژی و هیدرولوژیکی منطقه مورد مطالعه برای ظهور چشمه بسیار مناسب می‌باشد. بارندگی متوسط سالانه  $731$  میلی‌متر بوده و دارای اقلیم فراسرد نیمه مرطوب می‌باشد.

چشمه‌های معلوم و پنج فاکتور مؤثر بود و از وزن دهی به شواهد و شبکه عصبی مصنوعی جهت مدل‌سازی پیش‌بینی بهره‌گیری نمود و هر دو روش به‌طور مشابهی موقعیت چشمه‌ها را تخمین زده بودند. گانابورام و همکاران (۶)، نقشه‌برداری از نواحی با پتانسیل آب زیرزمینی را با استفاده از داده‌های سنجد از دور و GIS در حوزه موسی هند انجام دادند و نتیجه گرفتند که دشت‌های آبرفتی، دره‌ها، دشت‌های سیلانی و دشت سرها ناحیه‌های مناسبی برای استخراج آبهای زیرزمینی می‌باشند. ازدمیر (۱۷)، با استفاده از روش رگرسیون لجستیک در محیط سامانه اطلاعات جغرافیایی (GIS) اقدام به پهنه‌بندی نواحی با پتانسیل چشمه‌های آب زیرزمینی در حوزه آبخیز سلطان ترکیه نمودند. ایشان ۱۷ فاکتور مؤثر در وقوع چشمه را در تحلیل‌های خود مورد استفاده قرار داده و صحت نقشه پهنه‌بندی نهایی را با استفاده از سطح زیر منحنی (ROC)،  $0.82$  بدست آورند. او و همکاران (۱۴)، نقشه‌برداری از نواحی با پتانسیل آب زیرزمینی را در منطقه پوهانگ کره با استفاده از سیستم اطلاعات جغرافیایی و مدل‌های احتمالاتی انجام داد و با همپوشانی نقشه پتانسیل با فاکتورهای مورد استفاده مشخص نمودند که بافت خاک بیشترین تأثیر را در پتانسیل‌یابی آبهای زیرزمینی داشته و ارتفاع از سطح دریا کمترین تأثیر را در منطقه مورد مطالعه خود داشته است. رنگن و همکاران (۲۱)، تأثیر عوامل ساختاری و توپوگرافی را در فراوانی و ظهور چشمه‌های محدوده دشت‌های قلعه رزه و بیدروبه مورد مطالعه قرار دادند و ارتباط بین ظهور و دی چشمه‌ها با ارتفاع منطقه، شب منطقه، فاصله از شکستگی‌ها، تراکم تعداد و تراکم طول شکستگی‌ها مورد بررسی قرار دادند. نتایج نشان داد  $5900$  هکتار دشت دارای پتانسیل بالا برای برداشت و تغذیه مصنوعی و مناسب برای حفر چاه،  $1600$  هکتار پتانسیل متوسط و  $4802$  هکتار پتانسیل کم است. علیرغم نقش مهم چشمه‌های آب زیرزمینی در



شکل ۱- موقعیت مکانی حوزه آبخیز میرده در ایران و کردستان

#### روش انجام مطالعه

این مطالعه در چهار مرحله جهت تهیه نقشه پتانسیل چشمه‌های آب زیرزمینی GSP صورت گرفت. در ابتدا خصوصیات منطقه مورد مطالعه تشریح شده و چشمه‌های موجود شناسایی گردید. در مرحله دوم، جمع‌آوری داده‌ها و ایجاد پایگاه داده‌های مکانی فاکتورهای مؤثر انجام گرفت. در سومین مرحله، روش آماری رگرسیون لجستیک در نقشه‌برداری پتانسیل چشمه آب زیرزمینی منطقه مورد مطالعه بکار گرفته شده و مهم‌ترین عوامل تأثیرگذار در موقع چشمه‌های منطقه مورد مطالعه شناسایی و وارد مدل‌سازی شدند. در مرحله چهارم اعتبارسنجی نقشه پتانسیل چشمه‌های آب زیرزمینی با استفاده از روش ویزگی‌های عامل نسبی ROC<sup>۱</sup> مورد بررسی قرار گرفت. خلاصه مراحل پژوهش به صورت نمودار نشان داده شده است (شکل ۳).

حوزه مورد مطالعه بر اساس تقسیم‌بندی ساختاری رایج ایران زمین، در حاشیه شمال غربی ناحیه دگرگون شده سندج- سیرجان قرارگرفته است. این ناحیه یکی از ناحیه‌های مهم در زمین‌شناسی ایران می‌باشد که بصورت نوار طویل دگرگون شده‌ای در امتداد ناحیه زاگرس در راستای شمالی غرب- جنوب شرق گسترش یافته است. عناصر ساختاری مجدد در منطقه مورد مطالعه و پیرامون آن بسیار متنوع می‌باشند. این عناصر ساختاری در برگیرنده گسل‌ها و درزهای می‌باشند. گسل‌های زیادی در واحدهای سنگی حوزه رویت می‌گردند که باعث ایجاد دره‌های گسله، چشمه‌های تکتونیکی، پرتگاه‌ها و ... گردیده‌اند (شکل ۲). گسل‌های مذکور باعث ایجاد خردشگی شدید و نفوذپذیری ثانویه در واحدهای سنگی حوزه گردیده‌اند و وجود چشمه‌های متعدد در منطقه بیانگر نقش این گسل‌ها در این زمینه می‌باشد.

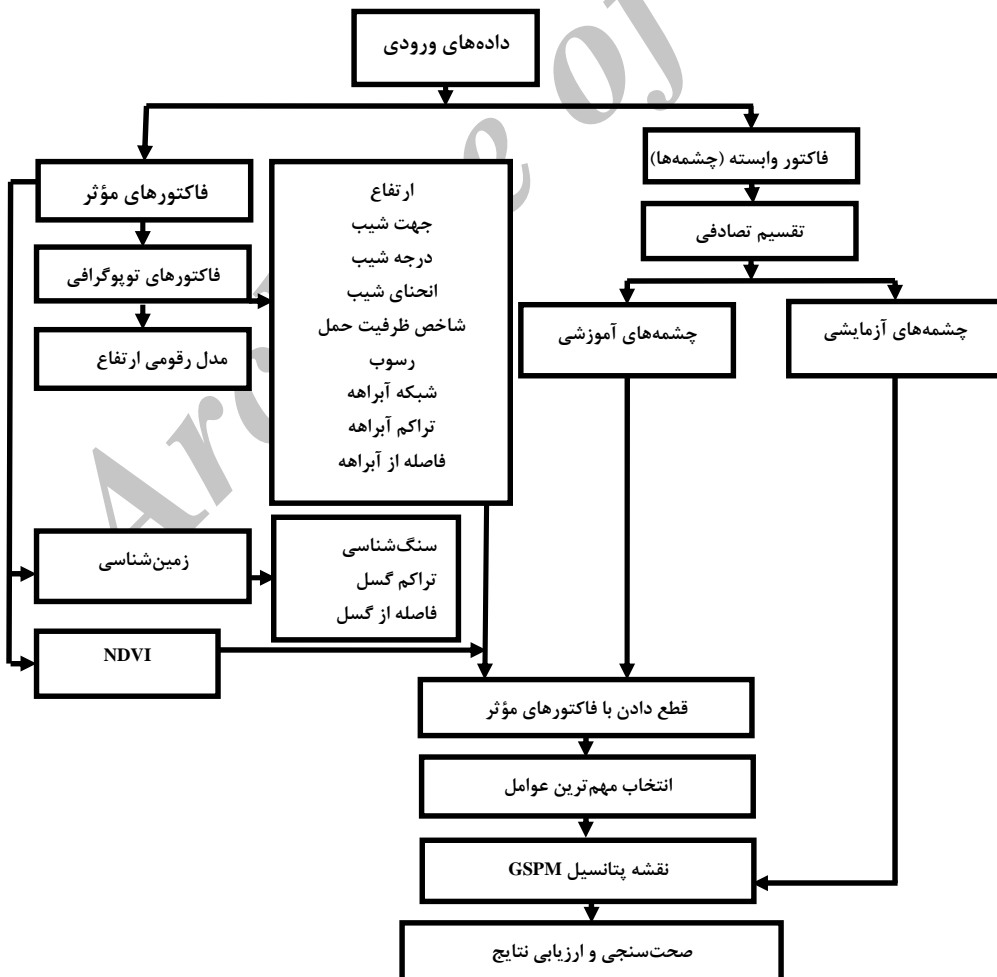


شکل ۲- نمایی از روستای میرده و نمونه‌ای از چشمه و گسل‌های منطقه مورد مطالعه

1- Relative Operating Characteristic

سال برآورد گردیده است (شکل ۵-الف). عدد بین اعداد ۱ تا ۹۰۴ به صورت تصادفی انتخاب گردید و شماره چشمehای آزمایشی مورد استفاده قرار گرفت به عنوان نمونههای آزمایشی مورد استفاده قرار گرفت (۱۹، ۱۷، ۷). به عبارتی چشمehای آزمایشی به صورت تصادفی انتخاب گردیدند. چشمehای آزمایشی به رنگ نقاط قرمز در (شکل ۵-الف) نشان داده شده‌اند. در نقشه فهرست چشمehا تعداد ۶۰۰ دهنۀ به عنوان چشمehای آموزشی شناسایی شده و به رنگ نقاط مشکی در (شکل ۵-الف) نشان داده شده است. از چشمehای آموزشی در تحلیل‌ها استفاده گردید و اعتبارسنجی نقشه نهایی در نواحی آزمایشی به اجرا درآمد. چشمehای ناحیه آزمایشی تنها جهت تأیید و تحلیل نتایج مورد استفاده قرار گرفتند و در مدل سازی و تھیه نقشه پتانسیل چشمeh نوشی نداشتند. موقعیت مکانی چشمehای منطقه مورد مطالعه در شکل (۵-الف) نشان داده شده است.

**نقشه فهرست چشمehای آب زیرزمینی**  
ردیابی صحیح موقعیت چشمehای آب زیرزمینی به منظور تحلیل احتمال وقوع چشمeh و نیز بررسی نقش متغیرهای محیطی بر وقوع چشمehها بسیار مهم و ضروریست (۱۸). نقشه فهرست چشمehها، موقعیت فعلی ظهور چشمeh را نشان می‌دهند. این موقعیت‌ها با شرایط زمین‌شناسی، توپوگرافیکی و اقلیمی در ارتباط است، بنابراین، اغلب می‌تواند پیش‌بینی موقعیت‌ها و شرایط توسعه چشمehها و احداث قنات‌ها را در آینده با کمترین هزینه تسهیل نماید. بنابراین، جهت شناسایی نواحی با پتانسیل چشمehای آب زیرزمینی، تعیین دقیق موقعیت چشمehها بسیار مهم است. حوزه آبخیز میرده دارای چشمehای متعددی بوده که اکثر ساختار از نوع درز و شکافی داشته و به لحاظ ژئومورفولوژی دائمه‌ای می‌باشند. با توجه به آماربرداری انجام شده در محدوده مطالعاتی و آمار شرکت مدیریت منابع آب، ۹۰۴ دهنۀ چشمeh در حوزه مورد مطالعه وجود داشته و تخلیه سالانه این چشمehها برابر با ۳۹۲۳ میلیون مترمکعب در

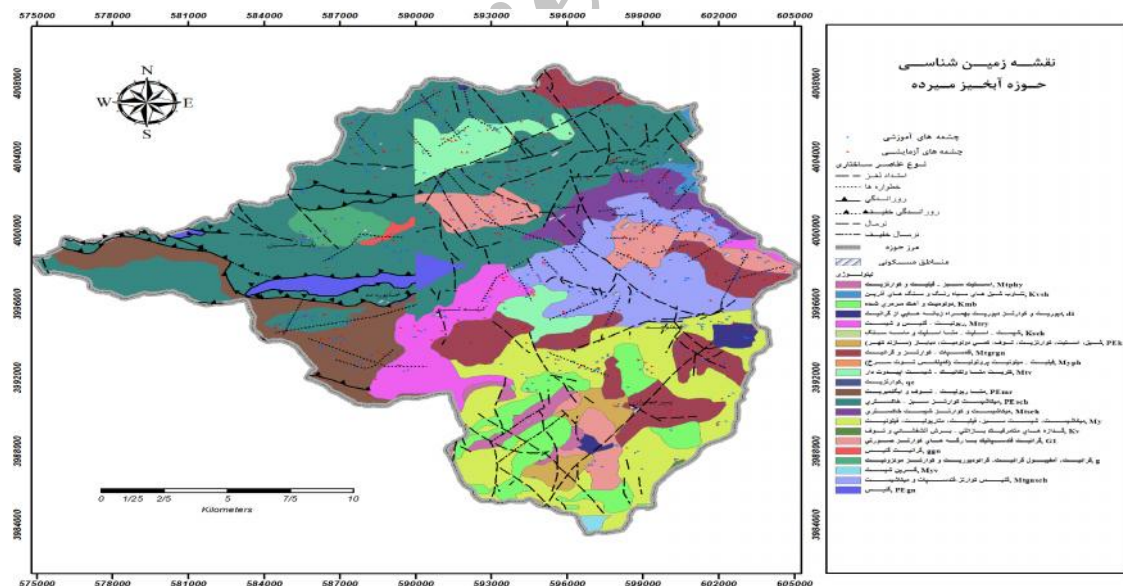


شکل ۳- نمودار جریانی روند پردازش داده‌ها در نقشه‌برداری پتانسیل چشمehای آب زیرزمینی

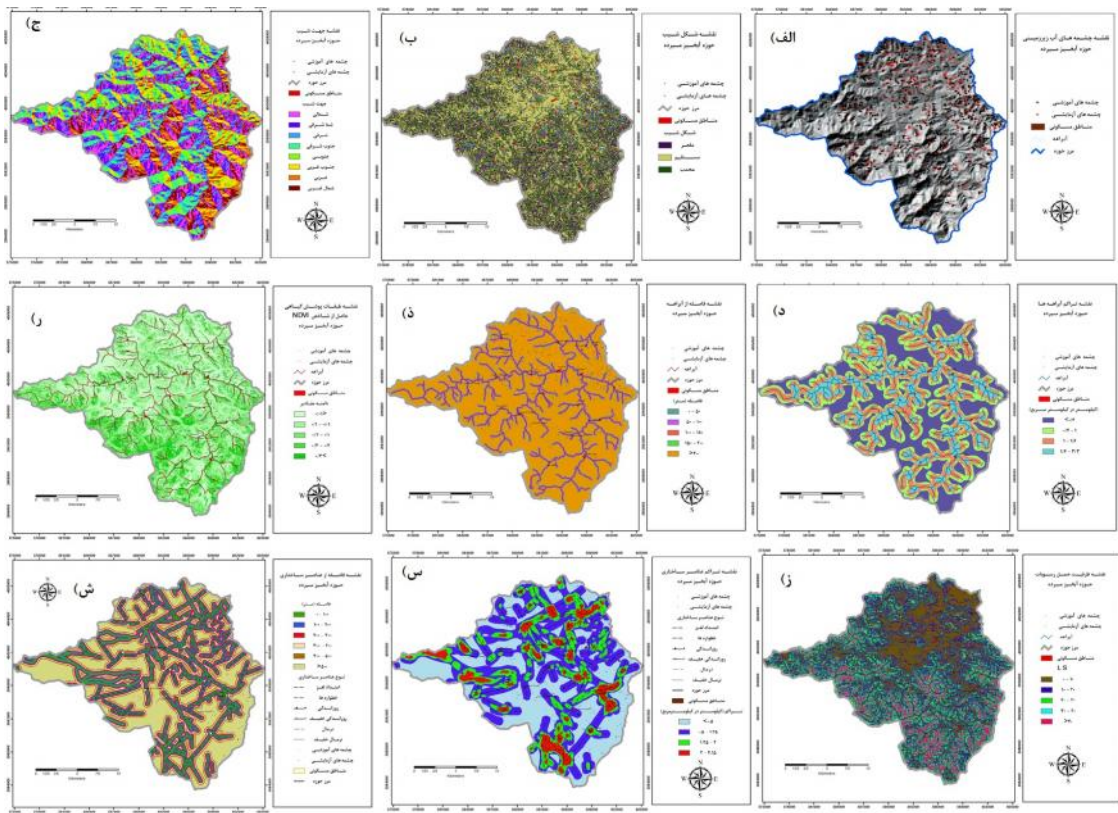
زمین‌شناسی، هیدروژئولوژی، توبوگرافی و کاربری اراضی متفاوت بوده و فرآیند پیچیده‌ای می‌باشد. جریان آب‌های زیرزمینی توسط لیتولوژی، توزیع، ضخامت و ساختار واحدهای هیدروژئولوژیکی محیط جابجایی آن کنترل می‌شود. در این مطالعه تعیین این عوامل از طریق مصاحبه از افراد بومی و پیمایش‌های صحرایی به صورت مستقیم صورت گرفت. پس از بررسی‌های انجام شده در منطقه مورد مطالعه، یازده عامل در وقوع چشمه‌های منطقه مهم‌تر و مؤثرتر شناخته شدند. این عوامل شامل: ارتفاع از دریا، جهت شیب، درجه شیب، شکل شیب، طول شیب، فاصله از گسل، تراکم گسل، نوع سازند زمین‌شناسی، مقدار شاخص نرمال شده تفاوت پوشش گیاهی (NDVI)، فاصله از آبراهه‌ها و تراکم آبراهه‌ها بودند. بنابراین، لایه‌های موضوعی مختلفی، از قبیل: زمین‌شناسی، توبوگرافی، رئومورفولوژی، هیدروژئوژی و پوشش اراضی جهت شناسایی نواحی با پتانسیل آب زیرزمینی مورد استفاده قرار گرفتند (شکل ۵). منطقه مورد مطالعه زمین‌شناسی پیچیده و متنوعی دارد (شکل ۴). تأثیر معنی‌دار سنجش‌نامنی بر وقوع چشمه‌ها قابل قبول است، زیرا تغییرات سنجش‌نامنی منجر به تفاوت در مقاومت و نفوذپذیری سنجه‌ها و خاک‌ها می‌شود (۱۸).

### فاکتورهای مرتبط با چشمه‌ها

به‌طور کلی، موقع و جایگایی آب‌های زیرزمینی، بویژه در آبخوان‌های با سنگ بستر خرد شده مانند حوزه مورد مطالعه توسط فاکتورهایی از قبیل: توبوگرافی، سنجش‌نامنی، سازندهای زمین‌شناسی، تراکم گسل‌ها، قابلیت انتقال، تخلخل ثانویه، توزیع سطح سفره آب زیرزمینی، تغذیه آب زیرزمینی، شب، الگوی زهکشی، شکل اراضی، کاربری اراضی، شرایط اقلیمی و ارتباط این عوامل با یکدیگر بستگی دارد (۱۴، ۱۳، ۸). جهت شناسایی و ارزیابی نواحی با پتانسیل چشمه‌های آب زیرزمینی، باید چندین فاکتور مرتبط را با نقشه فهرست چشمه‌ها مورد ارزیابی قرار داد. فاکتورهای متعددی از قبیل: توبوگرافی، زمین‌شناسی، ساختارها، درجه هوازدگی، توسعه درز و شکاف‌ها، نفوذپذیری، درجه شیب، الگوی زهکشی، کاربری اراضی و اقلیم وجود دارند که موقع و جریان آب‌های زیرزمینی را کنترل می‌کنند (۲۵، ۲۴، ۱۰). سالاما و همکاران (۲۲) دریافتند که نواحی تغذیه آب زیرزمینی موجب افزایش نفوذپذیری زمین‌شناسی سطحی می‌شود، در حالیکه نواحی تخلیه آب زیرزمینی در ارتباط با خطوط زهکشی بزرگ، مرز واحدهای زمین‌شناسی و چاله‌های توبوگرافیکی هستند. تغذیه آب‌های زیرزمینی در هر ناحیه‌ای با توجه به



شکل ۴- نقشه زمین‌شناسی و موقعیت چشمه‌های نمونه‌برداری شده منطقه مورد مطالعه



شکل ۵- نقشه برخی عوامل مؤثر در وقوع چشمه‌های منطقه مطالعه (الف) نقشه فهرست چشمه‌ها (ب) شکل انحنای دامنه (ج) جهت شیب (د) تراکم آبراهه (ذ) فاصله از آبراهه (ر) مقدار NDVI (ز) ظرفیت حمل رسوبات (س) تراکم عناصر ساختاری (ش) فاصله از عناصر ساختاری

**پتانسیل وقوع چشمه آب زیرزمینی کل پیکسل‌های منطقه مورد مطالعه در محیط سیستم اطلاعات جغرافیایی بکار گرفته شد. در مطالعه حاضر رگرسیون لجستیک گام به گام پیشرو برای آنالیز داده‌ها مورد استفاده قرار گرفت. مدل گام به گام پیشرو با مدلی شروع می‌شود که هیچ متغیر پیش‌بینی کنندگان وجود ندارد. در اولین مرحله هر متغیری که دارای سطح معنی‌داری زیر مقدار مشخصی شود (۰/۰۵) در سطح اعتماد (۰/۹۵) وارد مدل می‌شود. متغیرهایی که در آخرین مرحله از مدل حذف می‌شوند، مقادیر معنی‌داری بالاتر از ۰/۰۵ دارند، بنابراین به مدل اضافه نمی‌شوند.**

**نتایج و بحث**  
فرآیند ساخت مدل با ۶۰ رگرسور (متغیر پیشگو) از یازده فاکتور تأثیرگذار در وقوع چشمه کار خود را شروع می‌کند. پس از انجام آنالیزهای رگرسیونی لجستیک گام به گام پیشرو، هشت فاکتور مؤثر در وقوع چشمه از میان یازده فاکتور به دلیل معنی‌دار بودن از لحاظ آماری انتخاب گردیدند (جدول ۱). فاکتورهای انتخاب شده عبارتند از: ارتفاع از دریا، مقدار شاخص نرمال شده تفاوت پوشش گیاهی (NDVI)، شکل شیب، فاصله از

### روش رگرسیون لجستیک

در این مطالعه، روش تحلیل رگرسیون لجستیک و تکنیک‌های GIS جهت ارزیابی GSPM در منطقه مورد مطالعه بکار گرفته شد. یازده عامل مهم تأثیرگذار بر وقوع چشمه انتخاب گردید. هر فاکتور با توجه به مقدار و عوارض آن به کلاس‌های هریک در شکل (۵) نشان داده شده‌اند. در رگرسیون لجستیک به داده‌های حضور چشمی کد (۱) و به داده‌های عدم وقوع چشمی کد (۰) اختصاص می‌یابد. ۶۰۰ چشمی به عنوان چشمه‌های آموزشی از میان ۹۰۴ چشمی مشاهداتی در کل منطقه بصورت تصادفی انتخاب گردید و در تحلیل‌ها مورد استفاده قرار گرفت. همچنین ۶۰۰ نقطه در کل حوزه به عنوان نقاط عدم حضور چشمی بصورت تصادفی ایجاد گردید. مقداری کلاس‌های فاکتورهای مستقل مختلف مرتبط با وقوع چشمی و کلاس متغیر وابسته در ۱۲۰۰ نقطه (حضور و غیبت چشمی) تعیین گردید و جدولی تشکیل داده شد که کلاس‌هایی وقوع متغیر وابسته را در فاکتورهای مستقل نشان می‌داد. با استفاده از نرم‌افزار تحلیل آماری SPSS 19، ضرایب مدل تخمین زده شد (جدول ۱). سپس برای محاسبه احتمالات

مدل ضرایب تخمین (b) را دارند که بالاتر و یا پایین‌تر از مقدار صفر هستند. متغیرهایی که ضرایب تخمین معنی‌داری (Sig) کمتر از  $0.05$  دارند اختلاف معنی‌داری نشان داده و فرض صفر را رد می‌کنند (جدول ۱). این متغیرها به عنوان متغیرهای پیشگوی تأثیرگذار پذیرفته شدند.

آبراهه، تراکم آبراهه، زمین‌شناسی، فاصله از عناصر ساختاری و تراکم عناصر ساختاری بودند. برخی از متغیرهایی که در ابتدا به عنوان فاکتورهای مؤثر در وقوع چشمی تشخیص داده شده بودند، از قبیل: درجه شیب، ظرفیت حمل رسوبات (LS) و جهت شیب از لحاظ آماری معنی‌دار نبودند. تمام فاکتورهای باقیمانده در

جدول ۱- متغیرهای باقیمانده در مدل رگرسیون لجستیک و ضرایب آنها

	متغیرهای مستقل	<sup>۱</sup> B	<sup>۲</sup> S.E.	<sup>۳</sup> Wald	<sup>۴</sup> Df	<sup>۵</sup> Sig	<sup>۶</sup> Exp (B)
گام هشتم	فاصله از آبراهه	-0.266	0.051	27/433	1	0	1/305
	شکل شیب	-0.680	0.099	47/181	1	0	1/974
	زمین‌شناسی	-0.161	0.061	6/856	1	0.009	1/174
	فاصله از عناصر ساختاری	-0.198	0.051	14/908	1	0	1/218
	تراکم آبراهه	-0.355	0.080	19/591	1	0	0.701
	NDVI	-0.529	0.065	66/514	1	0	1/698
	ارتفاع از دریا	-0.807	0.083	93/985	1	0	0.446
	تراکم عناصر ساختاری	-0.279	0.102	7/501	1	0.006	0.757

B: ضرایب رگرسیون لجستیک، S.E.: خطای استاندارد تخمین، Wald: مقادیر والد کای اسکور، df: درجه آزادی، Sig: معنی‌داری

Exp(B): لگاریتم طبیعی ضریب رگرسیونی

TOL<0.1 داشته باشند از آنالیزهای رگرسیونی حذف می‌گردند. در این مطالعه، آستانه و فاکتورهای تورم پراکنش محاسبه گردید. کمترین TOL در این مطالعه ۰/۳۶۰ بود که بیشتر از  $1/0$  می‌باشد و بالاترین فاکتور تورم واریانس نیز برابر با  $2/778$  بودست آمد که کمتر از  $10$  می‌باشد. بنابراین چند خطی شدن خاصی بین فاکتورهای مستقل وجود ندارد.

در رگرسیون لجستیک از آماره‌ای بسیار زیاد استفاده می‌شود که به صورت گوناگونی نوشته می‌شود از جمله به صورت  $2\log(\text{likelihood}_{\text{final}} - \text{likelihood}_{\text{initial}})$  و  $\text{LL}_1 - \text{LL}_2$ . این آماره شبیه به مربع کای رفتار می‌کند و هنگامی که یک مدل تطابق ضعیفی دارد دارای مقدار بزرگی است و هنگامی که مدل با داده‌ها به خوبی تطابق دارد، مقدار آن کوچک می‌شود. مقدار  $R^2_{\text{pseudo}}$  که از طریق  $\text{Ln likelihood}_{\text{final}}/\text{Ln likelihood}_{\text{initial}}$  بدست می‌آید نشان‌دهنده مدل لوجیت مناسب داده‌هاست (۱۲). بنابراین،  $R^2_{\text{pseudo}}$  برابر با یک نشان‌دهنده برازش بسیار مناسب است، در حالیکه، مقدار نشان‌دهنده عدم ارتباط می‌باشد (۲). هنگامی که مقدار  $R^2_{\text{pseudo}}$  بزرگتر از  $0/2$  باشد، برازش نسبتاً مناسبی وجود دارد (۴). مقدار  $R^2_{\text{pseudo}}$  در این مطالعه  $0/713$  بدست آمد که بزرگتر از  $0/2$  است (جدول ۲). مقادیر  $R^2$  Nagelkerke و Cox and Snell  $R^2$  که متغیرهای مستقل قادر به توصیف متغیر وابسته

در ستون Exp(B) مقادیر لگاریتم طبیعی ضرایب تخمین بتا (B) نشان‌دهنده نسبت شناسی می‌باشد. مقادیر بیشتر از یک نشان از شناسی موفقیت بیشتر (وقوع چشمی) نسبت به شکست (عدم وقوع) دارد و مقادیر کمتر از یک به معنی شناسی موفقیت کمتر نسبت به شکست می‌باشد. یعنی افزایش کلاس تراکم آبراهه‌ها و عناصر ساختاری و افزایش ارتفاع، کاهش احتمال وقوع چشمی را در پی داشته و با افزایش طبقات کلاس‌های سایر فاکتورها به ترتیب: شکل شیب، پوشش گیاهی، فاصله از آبراهه‌ها، عناصر ساختاری و زمین‌شناسی بر مقدار شناسی وقوع چشمی آب زیرزمینی در منطقه مورد مطالعه افزوده می‌شود (جدول ۱).

هنگامی که بین پیشگوها یک رابطه خطی خوب باشد، تخمین‌های مدل رگرسیونی نمی‌تواند به تنهایی محاسبه گردد. اصطلاح هم خطی به دو متغیر اطلاق می‌شود که ترکیب خطی نزدیکی با یکدیگر دارند. هنگامی که بیش از دو متغیر این حالت را داشته باشند اصطلاح چند خطی<sup>۳</sup> بکار می‌رود. مدل مناسب در رگرسیون لجستیک به هم خطی بین متغیرهای مستقل حساس است (۹). دو شاخص مهم برای تشخیص چندخطی شدن، آستانه TOL<sup>۴</sup> و فاکتور تورم واریانس VIF<sup>۵</sup> می‌باشند. مقدار TOL کمتر از  $0/1$  یکی از شاخص‌هایی است که چند خطی شدن بین متغیرهای مستقل را نشان می‌دهد (۱۲،۳). متغیرهایی که  $VIF > 10$  و

وقوع چشمه نیز  $90/3\%$  بدست آمد. درصد صحت کلی نیز برابر با  $94$  درصد می‌باشد (جدول ۳).

هستند: این مقادیر به ترتیب برابر با  $0/680$  و  $0/842$  می‌باشند (جدول ۲). صحت پیش‌بینی وقوع چشمه‌های آموزشی در مدل بکارگرفته شده  $97/7\%$  و برای عدم

جدول ۲- خلاصه آماره‌های رگرسیون لجستیک

-2 Log likelihood	Cox & Snell R Square	Nagelkerke R Square	pseudo R <sup>2</sup>	ROC	گام
۱۱۳۷/۴۹۰					$1$
۹۵۸/۳۲۵	$0/680$	$0/842$	$0/713$	$0/905$	$8$

جدول ۳- خلاصه کلاسه‌بندی چشمه‌های آموزشی آب زیرزمینی به مشاهداتی و پیش‌بینی شده

مشاهداتی	پیش‌بینی شده		
	درصد صحت	وقوع چشمه	عدم وقوع چشمه
عدم وقوع چشمه (۶۰۰ چشمه)	$542$	$58$	$90/3$
وقوع چشمه (۶۰۰ چشمه)	$14$	$586$	$97/7$
صحت کلی			$94$

در میان فاکتورهای مختلف شرکت‌کننده در ظهور چشمه، شکل شبی و مقدار NDVI بالاترین مشارکت را داشتند. فاکتورهای ارتفاع و تراکم آبراهه کمترین مشارکت را در وقوع چشمه داشتند. با استفاده از مقدار ضرایب بدست آمده از خروجی آنالیز نهایی رگرسیون لجستیک (جدول ۱)، معادله رگرسیون لجستیک طبق معادلات زیر بدست آمد:

بکارگیری روش رگرسیون لجستیک با استفاده از ضرایب رگرسیونی، اهمیت نسبی فاکتورهای مستقل را می‌توان مشخص نمود. فاکتورهای فاصله از آبراهه، شکل شبی، زمین‌شناسی، فاصله از عناصر ساختاری و مقدار پوشش گیاهی (NDVI) تأثیر مثبتی بر روی وقوع چشمه داشتند. در حالیکه، تراکم آبراهه‌ها، ارتفاع از سطح دریا و تراکم عناصر ساختاری تأثیر کاهنده در وقوع چشمه نشان می‌دهند (جدول ۱).

(۳-۴)

$$Y = +0.68(\text{Plan Curvature}) + 0.529(\text{NDVI}) + 0.266(\text{Distance to stream}) + 0.198(\text{Distance to structure features}) \\ + 0.161(\text{Geology}) - 0.279(\text{Structural features density}) - 0.355(\text{Stream density}) - 0.807(\text{Elevation})$$

از روش رگرسیون لجستیک تهیه گردید و صحت مدل با استفاده از محاسبه ویژگی‌های عامل نسبی (ROC) مورد ارزیابی قرار گرفت (۱،۱۱،۱۴،۱۵). در روش ROC، مساحت زیر منحنی ROC مقادیر بین  $0/5$  تا  $1$  داشته و برای ارزیابی دقت مدل بکار می‌رود (۱۸). هرچقدر این مقدار به (۱) نزدیک‌تر شود، دقت مدل بیشتر است. جهت بکارگیری این روش موقعیت مکانی مجموعه چشمه‌های مشاهداتی منطقه مورد مطالعه (دهنه  $90/4$  در  $90/4$  نقطعه تصادفی از منطقه مورد مطالعه) در برابر  $90/4$  نقطه وجود چشمه قرار گرفت. قابلیت پیش‌بینی مدل بوسیله سطح زیر منحنی مشخص می‌گردد (شکل ۶).

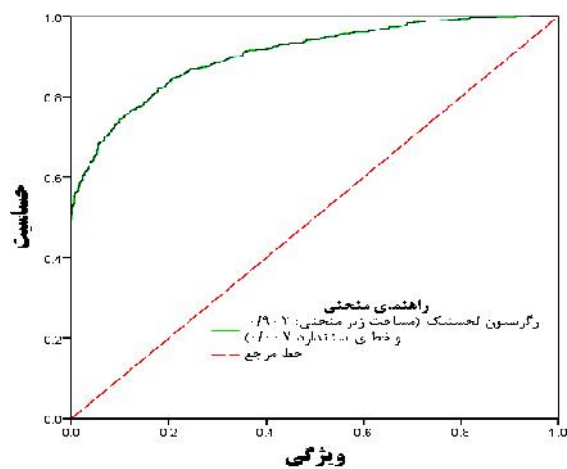
$$P = \frac{e^y}{1+e^y} \quad (4-4)$$

که در آن  $y$  معادله رگرسیونی بوده و  $P$  احتمال وقوع چشمه می‌باشد.

مقادیر پتانسیل وقوع چشمه ( $P$ ) در محاسبات رستری نرم‌افزار ArcGIS 10 با استفاده از معادله رگرسیون لجستیک (معادله ۴-۴) در کل منطقه مورد مطالعه بدست آمد. مقادیر  $P$  محاسبه شده بین (۰) تا (۱) بودند. GSPM بدست آمده در اندازه سلول  $25 \times 25$  متر می‌باشد. نقشه پتانسیل بر اساس روش فواصل ژئومتریکی<sup>۱</sup> به طبقات مختلف: خیلی کم، کم، متوسط، زیاد و خیلی زیاد تقسیم گردید (شکل ۸).

اعبار سنگی در این مطالعه نقشه‌های پتانسیل چشمه با استفاده

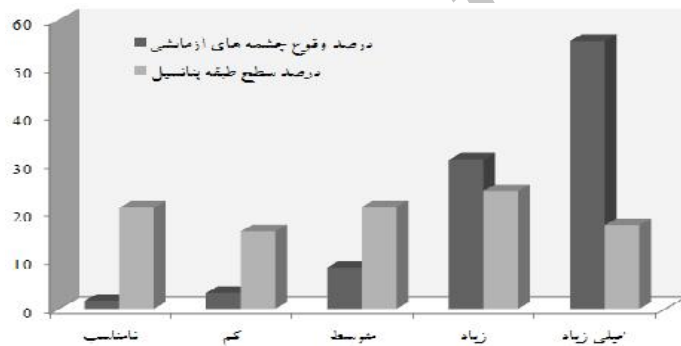
1- Geometrical interval



شکل ۶- ارزیابی دقت مدل رگرسیون لجستیک توسط منحنی ROC

پتانسیل یابی چشمه‌های آب زیرزمینی حوزه مورد مطالعه برابر با  $90/5\%$  می‌باشد.

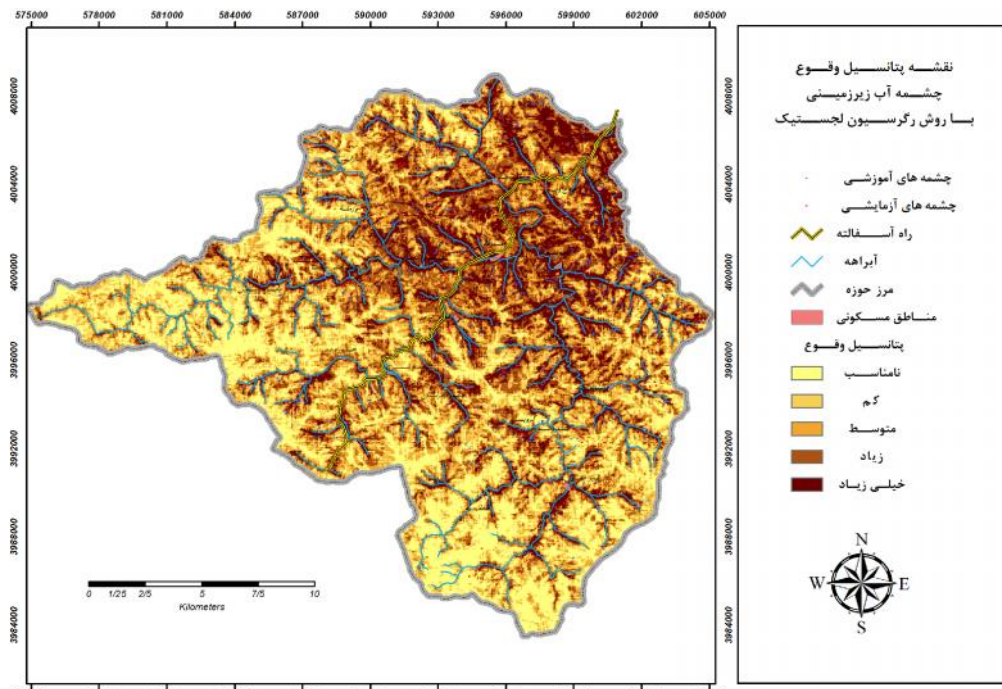
سطح زیر منحنی ROC در روش رگرسیون لجستیک  $90/0\%$  همراه با خطای استاندارد  $0/007$  بدست آمد. در نتیجه می‌توان گفت که دقت این مدل در



شکل ۷- هیستوگرام نشان‌دهنده نسبت فراوانی چشمه‌های آزمایشی واقع شده در کلاس‌های مختلف نقشه پتانسیل چشمه‌های آب زیرزمینی

چشمه‌های آزمایشی استفاده گردید. این چشمه‌ها در مدل‌سازی وارد نشده بودند و بنابراین می‌توانند صحت نقشه‌های تولید شده را نشان دهند. مساحت و درصد توزیع کلاس‌های پتانسیل وقوع در منطقه مورد مطالعه محاسبه گردید. جهت آزمایش صحت نقشه‌های تهیه شده با استفاده از روش‌های مذکور، چشمه‌های آزمایشی با نقشه‌های پتانسیل وقوع مورد مقایسه قرار گرفت. در این مقایسات، نسبت فراوانی وقوع چشمه در هریک از کلاس‌های نقشه پتانسیل وقوع چشمه آب زیرزمینی بدست آمد (جدول ۴ و شکل ۷).

نقشه پتانسیل وقوع چشمه آب زیرزمینی با استفاده از روش رگرسیون لجستیک در محیط سیستم اطلاعات جغرافیایی تهیه گردید. این نقشه مقیاس پیوسته‌ای از مقادیر پتانسیل را نشان می‌دهند و جهت پهنه‌بندی پتانسیل، باید به کلاس‌های مختلفی تقسیم شوند. چندین روش ریاضی برای برای طبقه‌بندی به درجات پتانسیل وجود دارد. در این مطالعه طبقه‌بندی به درجات مختلف پتانسیل به روش فواصل ژئومتریکی انجام گرفت. جهت بدست آوردن نسبت فراوانی چشمه‌ها در کلاس‌های مختلف پتانسیل منحصر از



شکل ۸- نقشه پتانسیل وقوع چشمه حاصل از روش رگرسیون لجستیک (LR) حوزه آبخیز میراد

جدول ۴- درصد وقوع چشمه‌های آزمایشی در کلاس‌های مختلف پتانسیل چشمه آب زیرزمینی

کلاس	(تعداد پیکسل‌ها)	سطح از کل حوزه (%)	تعداد چشمه‌های آزمایشی	از کل چشمه‌های آزمایشی (%)	نسبت فراوانی
نامناسب یا خیلی کم	۱۲۷۷۹۴	۲۰/۹۵	۵	۱/۶۴	۰/۰۸
کم	۹۸۰۲۴	۱۶/۰۷	۱۰	۳/۲۹	۰/۲۰
متوسط	۱۲۹۰۲۰	۲۱/۱۶	۲۶	۸/۵۵	۰/۴۰
زیاد	۱۴۹۰۸۹	۲۴/۴۵	۹۴	۳۰/۹۲	۱/۲۶
خیلی زیاد	۱۰۵۹۵۲	۱۷/۳۷	۱۶۹	۵۵/۵۹	۳/۲۰

انتخاب گردیدند (جدول ۱). فاکتورهای انتخاب شده عبارتند از: ارتفاع از دریا، مقدار شاخص نرمال شده تفاوت پوشش گیاهی (NDVI)، شکل شبیب، فاصله از آبراهه، تراکم آبراهه، زمین‌شناسی، فاصله از عناصر ساختاری و تراکم عناصر ساختاری بودند. با توجه به مقدار ضریب تخمین فاکتورهای پیش‌بینی‌کننده پتانسیل وقوع چشمه‌های آب زیرزمینی، برخی فاکتورها از قبیل: فاصله از آبراهه، شکل شبیب، زمین‌شناسی، فاصله از عناصر ساختاری و مقدار NDVI تأثیر مثبتی بر وقوع چشمه‌های آب زیرزمینی منطقه مورد مطالعه داشتند. در حالیکه فاکتورهای تراکم آبراهه، تراکم عناصر ساختاری و ارتفاع از سطح دریا تأثیر منفی روی پتانسیل وقوع چشمه منطقه مورد مطالعه داشتند. فاکتورهای جهت شبیب، درجه شبیب و طول شبیب در آنالیزهای آماری ضرایب تخمین معنی‌داری کمتر از

نواحی با پتانسیل نامناسب یا خیلی کم چشمه‌های آب زیرزمینی، ۲۰/۹۵ درصد از کل منطقه را شامل شده و مناطق با پتانسیل کم، متوسط، زیاد و خیلی زیاد، به ترتیب ۰/۱۶/۰/۷، ۰/۲۱/۰/۱۶، ۰/۲۴/۰/۴۵ و ۰/۱۷/۰/۳۷ از کل حوزه آبخیز را شامل می‌شوند. چشمه‌های آزمایشی واقع شده متناظر با هر طبقه پتانسیل از خیلی کم تا خیلی زیاد به ترتیب شامل: ۰/۱۶۴، ۰/۳۲۹، ۰/۸/۵۵، ۰/۳۰/۹۲ و ۰/۵۵/۰/۵۹ می‌باشند. طبقات پتانسیل زیاد و خیلی زیاد چشمه‌های آب زیرزمینی ۰/۴۱/۰/۸۲ از منطقه را شامل شده و ۰/۸۶/۰/۵۱ چشمه‌های آزمایشی در این ناحیه قرار گرفته‌اند. بنابراین نسبت تراکم چشمه در این نواحی ۰/۲۰۷ می‌باشد (جدول ۴ و شکل ۷).

پس از انجام آنالیزهای رگرسیون لجستیک گام به گام پیشرو، هشت فاکتور مؤثر در وقوع چشمه از میان یازده فاکتور به دلیل معنی‌دار بودن از لحاظ آماری

بود که حاکی از تخمین بسیار خوب روش‌های آماری در پتانسیل‌یابی چشمه‌ها می‌باشد. با توجه به سطح زیر منحنی بدست آمده در مطالعه حاضر، نتایج این تحقیق با مطالعات پژوهشگرانی از قبیل کورسینی و همکاران (۵)، ازدمیر (۱۷) و ازدمیر (۱۸) که در مقدمه به آنها اشاره شد، همخوانی دارد. پژوهشگران بالا روش‌های آماری مختلفی از قبیل: وزن‌دهی به شواهد، نسبت فراوانی و رگرسیون لجستیک را به عنوان ابزار مناسب در نقشه‌برداری پتانسیل چشمه آب زیرزمینی در مناطق مختلف جهان پیشنهاد کرده بودند و نتایج به دست آمده از این تحقیق نیز بیانگر نظر آنهاست. مدل‌های احتمالاتی و آماری بکار گرفته شده در این تحقیق در تلفیق با GIS جهت پتانسیل‌یابی نواحی با چشمه‌های آب زیرزمینی، ساده، صحیح و سریع بوده و کمک زیادی به طراحان و تصمیم‌گیران مسایل مرتبط با مدیریت منابع آب و آبخیزداری بخصوص در توسعه صنعت ژئوتوریسم و گردشگری در محیط کوهستان و همچنین توسعه منابع آبی در طرح‌های مرتعداری و موقع خشکسالی خواهد نمود.

### تشکر و قدردانی

بدینوسیله نویسندهان مقاله بر خود لازم می‌دانند که مراتب سپاس و تقدیر خود را از کارکنان بخش مطالعات منابع آب شرکت آب منطقه‌ای کردستان بهخصوص جناب مهندس بابایی به‌خاطر فراهم آوردن امکان این تحقیق اعلام می‌دارند.

۰/۰۵ داشته و از آنالیزها حذف گردیدند. افزایش کلاس طبقات تراکم آبراهه‌ها و عناصر ساختاری و افزایش ارتفاع از سطح دریا، کاهش احتمال وقوع چشمه را در پی داشته و با افزایش طبقات کلاس‌های شکل شب، پوشش گیاهی (NDVI)، فاصله از آبراهه‌ها، فاصله از عناصر ساختاری و زمین‌شناسی به ترتیب بر مقدار شاخص وقوع چشمه آب زیرزمینی در منطقه مورد مطالعه افزوده است (جدول ۱).

ملاحظه چشمه‌های آزمایشی واقع شده در طبقات پتانسیل وقوع چشمه این واقعیت را آشکار می‌سازد که با افزایش طبقات پتانسیل وقوع چشمه، به صورت چشمگیری بر تراکم چشمه‌ها در این مناطق افزوده شده است و این در حالیست که چشمه‌های آزمایشی در مدل‌سازی‌ها نقشی نداشتند. تعداد بسیاری از چشمه‌های آزمایشی در ناحیه با پتانسیل زیاد و خیلی زیاد قرار گرفته و چشمه‌های واقع شده در کلاس پتانسیل نامناسب و کم، ناچیز می‌باشند. جهت ارزیابی توانایی پیش‌بینی روش رگرسیون لجستیک در این مطالعه از سطح زیر منحنی ROC استفاده گردید. در ۰/۹۰۵ به دست آمد که نشان‌دهنده پیشگویی بسیار قابل قبول روش رگرسیون لجستیک در پتانسیل‌یابی چشمه‌های آب زیرزمینی منطقه مورد مطالعه می‌باشد. ازدمیر (۱۸) نیز مقایسه‌ای بین روش‌های نسبت فراوانی، وزن‌دهی به شواهد و رگرسیون لجستیک انجام داده بود وی مقدار سطح زیر منحنی ROC را برای هریک از روش‌های مذکور به ترتیب ۰/۹۰۳، ۰/۸۸۰ و ۰/۸۴۰ به دست آورده

### منابع

1. Akgun, A., E.A. Sezar, H.A. Nefeslioglu, C. Gokceoglu and B. Pradhan. 2012. An easy-to-use MATLAB program (MamLand) for the assessment of landslide susceptibility using a Mamdani fuzzy algorithm, Computer & Geosciences, 38: 23-34.
2. Ayalew, L. and H. Yamagishi. 2005. The application of GIS-based logistic regression for landslide susceptibility mapping in Kakuda-Yahiko Mountains, Central Japan. Geomorphology, 65: 15-31.
3. Bai, S.B., J. Wang, G.N. Lü, P.G. Zhou, S.S. Hou and S.N. Xu. 2010. GIS-based logistic regression for landslide susceptibility mapping of the Zhongxian segment in the three Gorges area China. Geomorphology, 115: 23-31.
4. Clark, W.A. and P.L. Hosking. 1986. Statistical Methods for Geographers. 1<sup>st</sup> ed. John Wiley & Sons, New York, 248 pp.
5. Corsini, A., F. Cervi and F. Ronchetti. 2009. Weight of evidence and artificial neural networks for potential groundwater spring mapping: an application to the Mt. Modino area (Northern Apennines, Italy). Geomorphology, 111: 79-87.
6. Ganapuram, S., G.T. Vijaya Kumar, I.V. Murali Krishna, E. Kahya and M.C. Demirel. 2009. Mapping of groundwater potential zones in the Musi basin using remote sensing data and GIS. Advanced Engineering Software, 40: 506-518.
7. Ghosh, S. and E.J.M. Carranza. 2010. Spatial analysis of mutual fault/fracture and slope controls on rock sliding in Darjeeling Himalaya, India. Geomorphology, 122: 1-24.
8. Greenbaum, D. 1992. Structural influences on the occurrence of groundwater in SE Zimbabwe, Geological Society, London, Special Publications, 66: 77-85.
9. Hosmer, D.W. and S. Lemeshow. 2000. Applied Logistic Regression, 2<sup>nd</sup> Ed. John Wiley and Sons Inc., New York, 375 pp.
10. Jaiswal, R.K., S. Mukherjee, J. Krishnamurthy and R. Saxena. 2003. Role of remote sensing and GIS techniques for generation of groundwater prospect zones towards rural development-an approach. International Journal of Remote Sensing, 24: 993-1008.

11. Mathew, J., V.K. Jha and G.S. Rawat. 2007. Application of binary logistic regression analysis and its validation for landslide susceptibility mapping in part of Garhwal Himalaya, India. International Journal of Remote Sensing, 28: 2257-2275.
12. Menard, S. 2002. Applied logistic regression analysis, 2<sup>nd</sup> Ed. SAGE university paper, 111 pp.
13. Mukherjee, S. 1996. Targetting saline aquifer by remote sensing and geophysical methods in a part of Hamirpur-Kanpur, India. Journal of Hydrology, 19: 1867-1884.
14. Oh, H.J., Y.S Kim, J.K. Choi and S. Lee. 2011. GIS mapping of regional probabilistic groundwater potential in the area of Pohang City, Korea. Journal of Hydrology, 399: 158-172.
15. Oh, H.J. and S. Lee. 2010. Cross-validation of logistic regression model for landslide susceptibility mapping at Geneoung areas, Korea. Disaster Advances, 3: 44-55.
16. Oh, H.J. and B. Pradhan. 2011. Application of a neuro-fuzzy model to landslidesusceptibility mapping for shallow landslides in a tropical hilly area. Computers & Geosciences, 37: 1264-1276.
17. Ozdemir, A. 2011. Using a binary logistic regression method and GIS for evaluating and mapping the groundwater spring potential in the Sultan Mountains (Aksehir, Turkey). Journal of Hydrology, 405: 123-136.
18. Ozdemir, A. 2011. GIS-based groundwater spring potential mapping in the Sultan Mountains (Konya, Turkey) using frequency ratio, weights of evidence and logistic regression methods and their comparison. Journal of Hydrology, 411: 290-308. doi:10.1016/j.jhydrol.2011.10.010
19. Pradhan, B., S. Lee and M.F. Buchroithner. 2010. Remote sensing and GIS-based landslide susceptibility analysis and its cross-validation in three test areas using a frequency ratio model. Photogrammetrie Fernerkundung Geoinformation, 1: 17-32.
20. Rahimi, D. 2012. Potential ground water resources: (Case study: Shahrekord plain). Geography and Environmental Planning, 44: 127-142. (In Persian)
21. Rangzan, K., A. Cherchi and F. Amiri. 2005. The role of structural-geomorphological elements factors in spring occurrence in QalehRazeh- Bidrobeh area and its comparison with the same study carried out for Pabdeh-Lali anticline. 9the Symposium of Geological Society of Iran papers. Tehran Tarbiat moalem university, 526-539 pp. (In Persian)
22. Salama, R.B., I. Tapley, T. Ishii and G. Hawkes. 1994. Identification of areas of recharge and discharge using landsat-tm satellite imagery and aerial-photography mapping techniques. Journal of Hydrology, 162: 119-141.
23. Shahid, S., S.K. Nath and J. Roy. 2000. Groundwater potential modelling in a soft rock area using a GIS. International Journal of Remote Sensing, 21: 1919-1924.
24. Surrette, M., D. Allen and M. Journeyay. 2008. Regional evaluation of hydraulic properties in variably fractured rock using a hydrostructural domain approach. Hydrogeology Journal, 16: 11-30.
25. Yeh, H.F., C.H. Lee, K.C. Hsu, P.H. Chang. 2008. GIS for the assessment of the groundwater recharge potential zone. Environmental Geology, 1: 185-195. doi: 10.1007/s00254-008- 1504-9.

## **Mapping Groundwater Spring Occurrence Potential using Logistic Regression Statistical Method (Case Study: Miredeh Mountainous Watershed, Kurdistan)**

**Sayran Zandi<sup>1</sup>, Karim Solaimani<sup>2</sup> and Jalal Zandi<sup>3</sup>**

---

1 and 2- M.Sc. Student and Professor, Sari Agricultural Sciences and Natural Resources University

3- PhD Student, Sari Agricultural Sciences and Natural Resources University

(Corresponding author: jalal.zandi2010@gmail.com)

Received: November 24, 2012      Accepted: August 19, 2013

---

### **Abstract**

The purpose of this study is to produce a groundwater spring potential map based on statistical and probability logistic regression method. The spatial locations of the springs in mountainous Miradeh watershed, Kurdistan province, with 381 Km<sup>2</sup> were determined. Based on field and local study and Water Resources Management Company, spatial location of 904 springs in the study area were registered and 304 springs selected randomly as test data set and the remaining 600 spring were used for training the network. Forward stepwise LR was used to analyze the data and to find the most influential factors on spring occurrence that are statistically significant. The accuracy of model evaluates and verified using statistics such as: -2LL, Cox, Snell and Nagelkerke R<sup>2</sup>. The accuracy of each model to predict was evaluated using calculating the area under the ROC curve values. ArcGIS was used to apply the proposed method and calculate statistical and Probability of spring occurrence potential. This can help planners and engineers in groundwater development plans and land-use planning.

**Keywords:** Groundwater potential, Spring, Logistic Regression, GIS